

**Канд. техн. наук Паэранд Ю. Э.
аспирант Калашников А. П.
(ДонГТУ, г. Алчевск, Украина)**

**МОДЕЛИРОВАНИЕ АМПЛИТУДНО-ЧАСТОТНЫХ
ХАРАКТЕРИСТИК ЭЛЕКТРОМЕХАНИЧЕСКИХ ФИЛЬТРОВ
С ИСПОЛЬЗОВАНИЕМ МЕТОДА ЭЛЕКТРОМЕХАНИЧЕСКИХ
АНАЛОГИЙ**

Наведені результати моделювання амплітудно-частотних характеристик електромеханічних фільтрів с використанням метода електромеханічних аналогій. Показано вплив зміни добротності різних елементів коливальної системи на амплітудно-частотну характеристику електромеханічного фільтру.

Проблема и ее связь с научными и практическими задачами.

Одним из устройств, осуществляющих фильтрацию сигналов в аппаратуре систем связи, являются электромеханические фильтры (ЭМФ), принцип работы которых основан на использовании явления механического резонанса. Данные фильтры характеризуются высокой избирательностью и стабильностью, которые возможно достичь, используя информацию о влиянии точности настройки элементов на характеристики путем моделирования амплитудно-частотных характеристик ЭМФ.

Анализ исследований и публикаций.

Анализ публикаций показал, что, несмотря на наличие известных математических моделей ЭМФ [1], отсутствуют исследования, позволяющие произвести оценку влияния производственных погрешностей на параметры ЭМФ,

Постановка задачи.

В настоящей работе авторами поставлена задача исследования влияния величины добротности элементов ЭМФ на получаемые амплитудно-частотные характеристики (АЧХ).

Изложение материала и его результаты.

Для оценки влияния элементов ЭМФ, а именно резонаторов, преобразователей, согласующего электрического контура, авторами проведено моделирование АЧХ для ЭМФ на верхнюю боковую полосу с несущей частотой 128 кГц с расчетной полосой пропускания 3,3 кГц и

максимально допустимой неравномерностью 0,11 дБ. Объектом моделирования является ЭМФ, который состоит из десяти резонаторов цилиндрической формы, работающих на крутильных колебаниях основной частоты, и двух преобразователей, работающих на изгибных колебаниях первой гармоники (рис. 1). Резонаторы механической фильтрующей системы изготавливались из элинварного сплава марки 44НХМТ. Преобразователи являются составными и представляют собой жестко соединенные друг с другом металлический резонатор из сплава 44НХМТ и пьезокерамические элементы из пьезоматериала ЦТС-35.

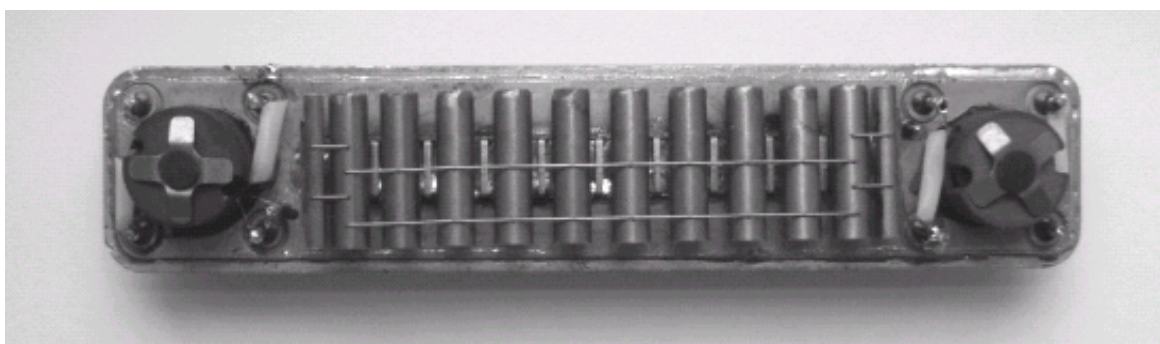


Рисунок 1 – Конструкция ЭМФ

Для проведения расчета предложена модель, построенная с использованием теории электромеханических аналогий, в основе которой лежит подобие дифференциальных уравнений, описывающих динамические процессы в области механики и электротехники. Согласно данной модели электромеханический фильтр представлен в виде эквивалентной электрической схемы, позволяющей применить для его анализа теорию электрических цепей.

Электрические модели механических элементов ЭМФ могут быть построены в виде цепей из пассивных элементов по одной из двух известных систем электромеханических аналогий. По первой системе кинетическая энергия соответствует энергии магнитного поля, потенциальная – энергии электрического поля. Согласно второй системе аналогий, называемой еще аналогией по подвижности, наоборот, кинетическая энергия соответствует энергии электрического поля, а потенциальная энергия соответствует энергии магнитного поля. Таким образом, реальная механическая конструкция при замене ее эквивалентной электрической схемой представляется в виде динамической системы, состоящей из идеализированных упругих, инерционных и фрикционных элементов и действующих на систему внешних сил.

При моделировании использовалась эквивалентная электрическая схема ЭМФ для четного количества резонаторов (рис. 2), составленная в соответствии с первой системой электромеханических аналогий, представляющая собой последовательно-параллельное соединение резисторов, конденсаторов и индуктивностей, значения параметров которых рассчитаны по специальной методике [3].

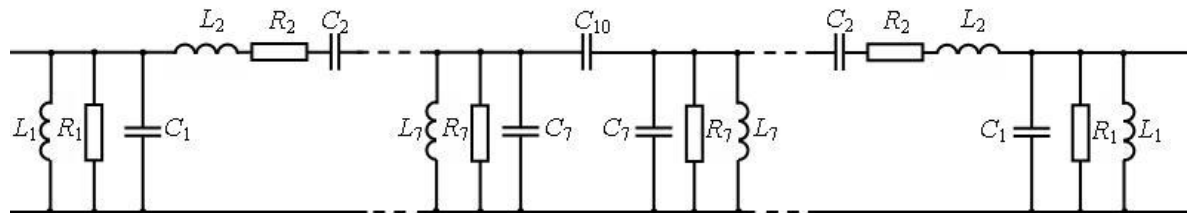


Рисунок 2 – Схема замещения ЭМФ

Расчет параметров элементов схемы замещения производился для следующих исходных данных (табл. 1).

При этом были использованы следующие расчетные формулы (табл. 2) [4,5].

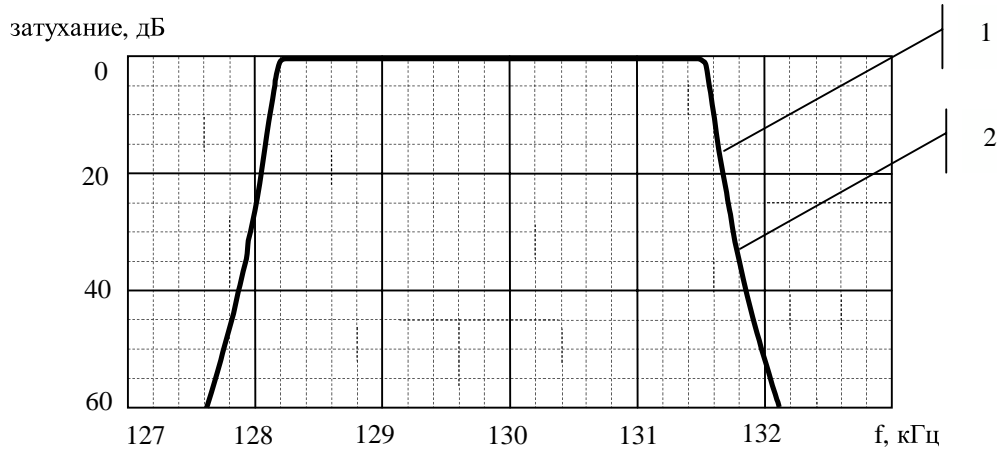
На рисунке 3 представлены результаты расчета АЧХ фильтра (кривая 1) для параметров соответствующих данным, приведенным на таблице 1, а также типовая АЧХ (кривая 2), полученная по результатам измерения изготовленных образцов ЭМФ. Как видно из рисунка, расчетная и типовая характеристики практически совпадают, что позволяет сделать вывод о высокой точности используемого метода моделирования.

Таблица 1

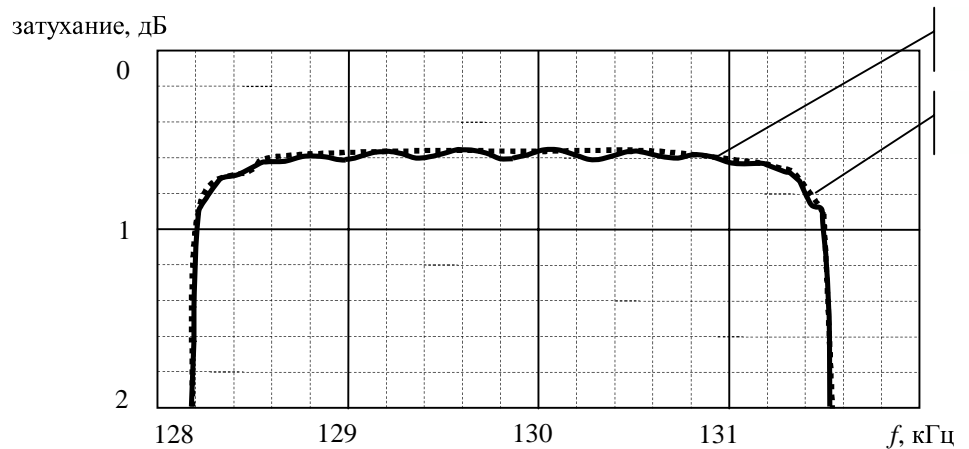
Данные для расчета фильтра	
1	2
Динамическая емкость (C_d), пФ	$4,325 \cdot 10^{-12}$
Коэффициент электромеханической связи $K_{\text{св}}$	0,1048
Ширина полосы пропускания Δf , Гц	3300
Добротность катушки Q_α	120
Добротность преобразователя Q_{np} .	1500
Добротность резонатора Q_p	20000

Продолжение таблицы 1

1	2
Средняя частота f_0 , Гц	129840
Круговая частота ω_0	815808,780
<i>Нормированные коэффициенты фильтра [4]:</i>	
α_1	0,937356493
β_2	1,633627876
α_3	1,819567223
β_4	1,884162812
α_5	1,912804715
β_6	1,922180682
ρ	0,904762



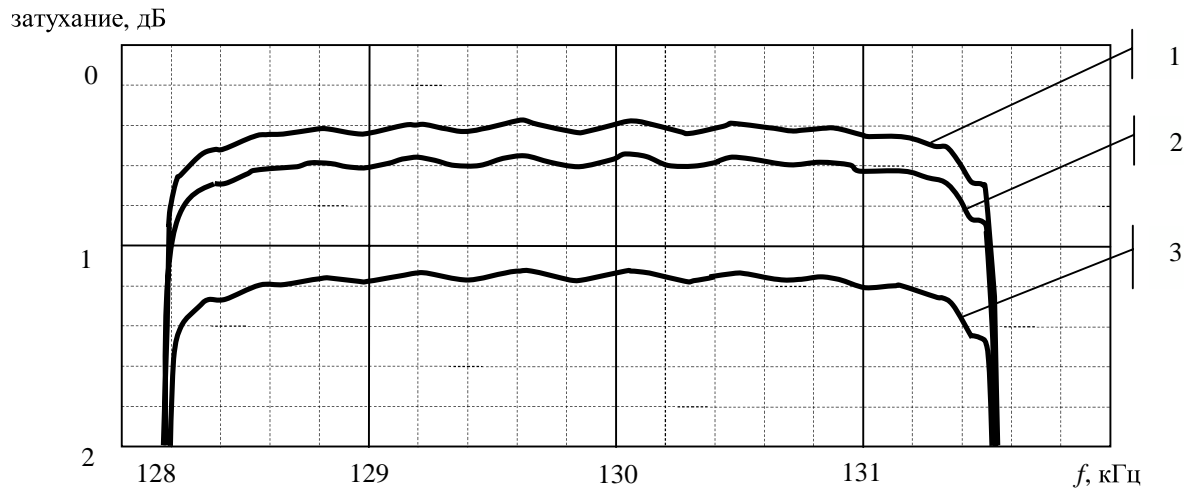
a)



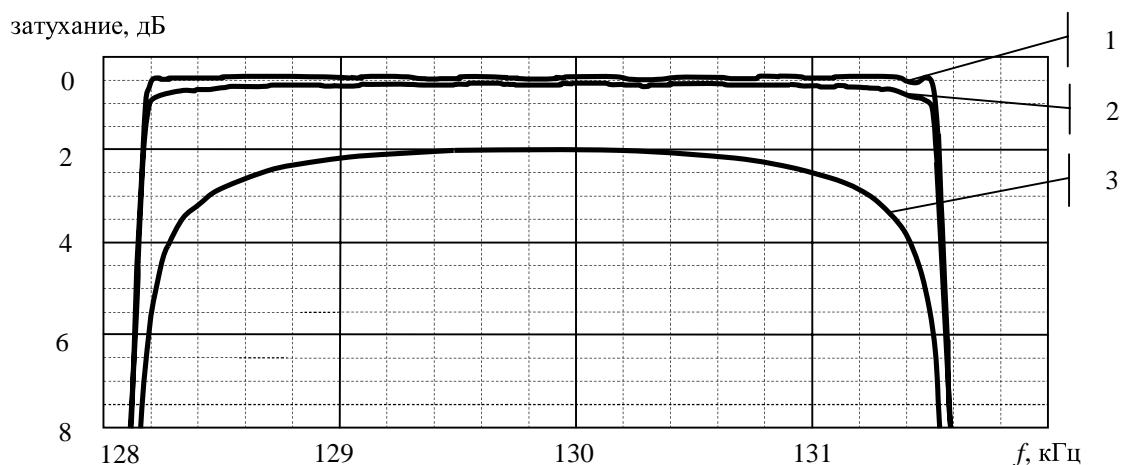
б)

Рисунок 3 – Расчетная и типовая АЧХ ЭМФ

С использованием указанного выше метода моделирования авторами был проведен расчет АЧХ фильтров для различных добротностей резонаторов, преобразователей и согласующих индуктивностей. Результаты расчетов приведены на рисунках 4, 5.

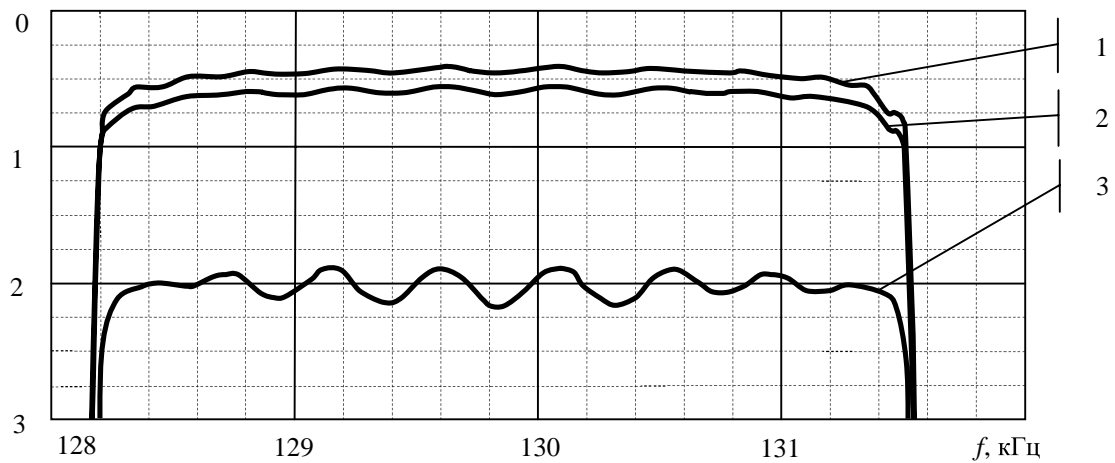


а) характеристики при добротностях преобразователей $Q=5000$ (кривая 1), $Q=1500$ (кривая 2) и $Q=450$ (кривая 3)



б) характеристики при добротностях резонаторов $Q=200000$ (кривая 1), $Q=20000$ (кривая 2), $Q=2000$ (кривая 3)

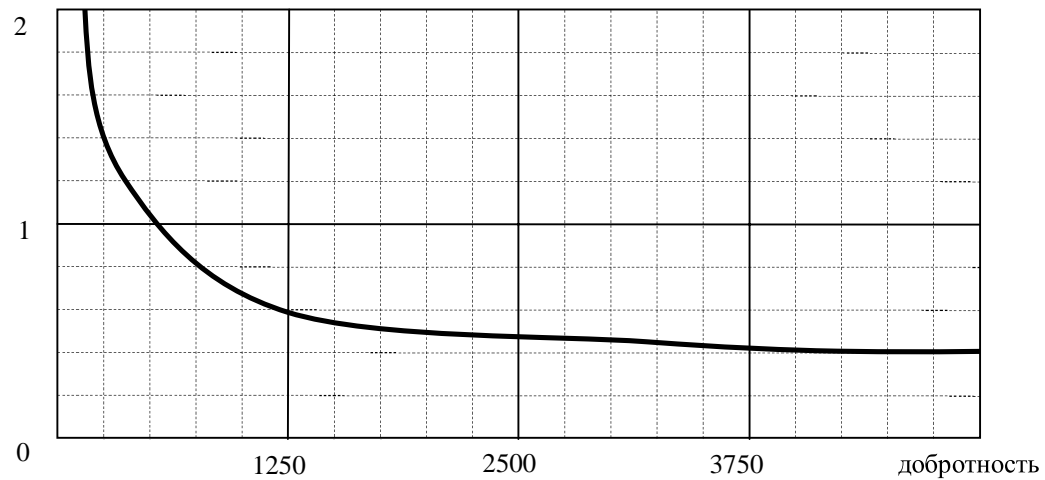
затухание, дБ



в) характеристики при добротностях согласующих индуктивностей $Q=1200$ (кривая 1), $Q=120$ (кривая 2), $Q=12$ (кривая 3)

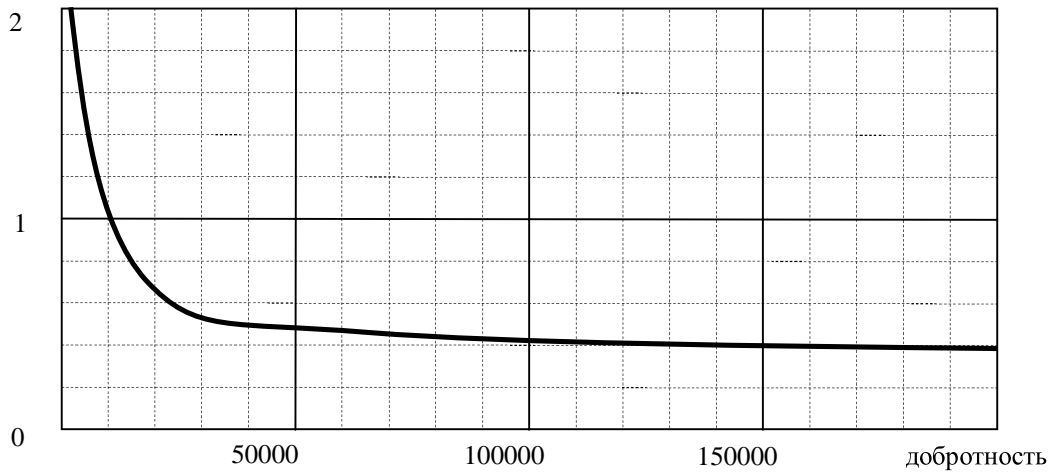
Рисунок 4 – АЧХ ЭМФ при различных значениях добротностей элементов

затухание, дБ



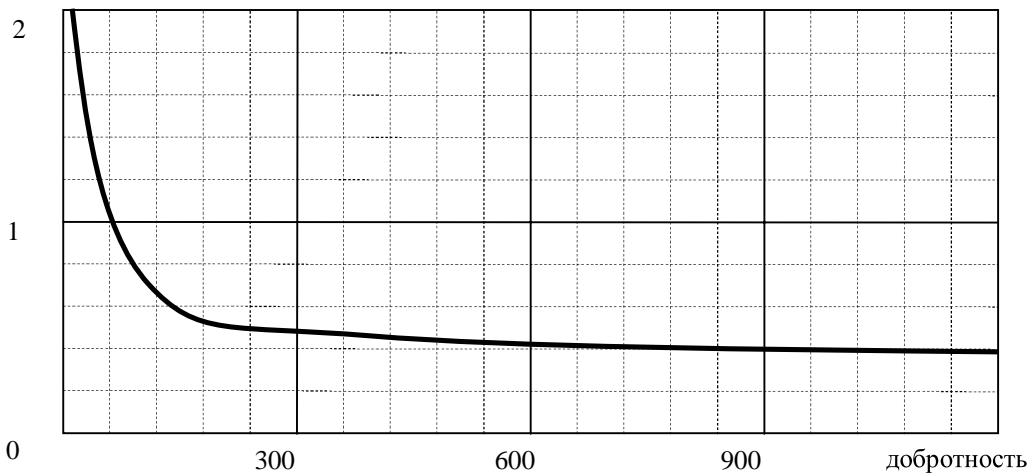
а) влияние изменения величины добротности преобразователей на величину затухания в полосе пропускания ЭМФ

затухание, дБ



б) влияние изменения величины добротности резонаторов на величину затухания в полосе пропускания ЭМФ

затухание, дБ



в) влияние изменения величины добротности согласующих индуктивностей на величину затухания в полосе пропускания ЭМФ

Рисунок 5 – Влияние изменения величины добротности элементов на величину затухания в полосе пропускания ЭМФ

затухание, дБ

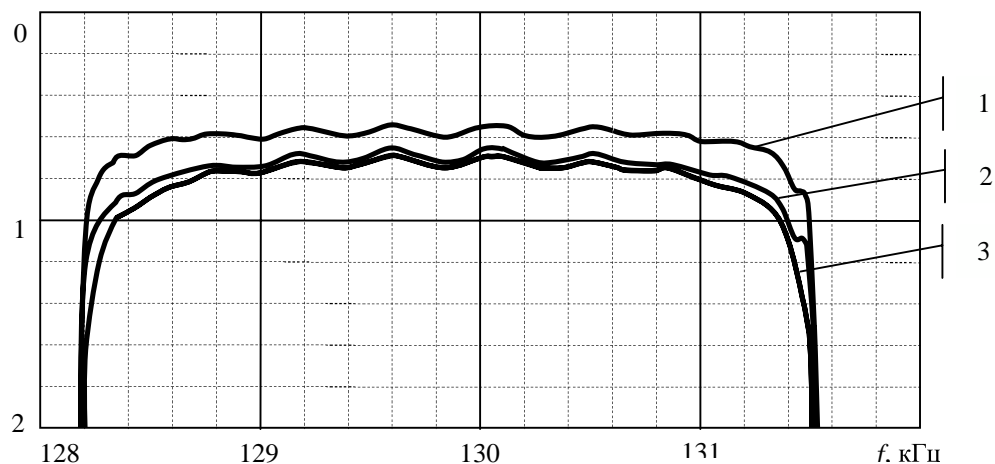


Рисунок 6 – Влияние изменения величины добротности отдельных резонаторов на величину затухания в полосе пропускания ЭМФ:

кривая 1 - характеристики при добротностях резонаторов $Q=20000$ для всех элементов;

кривая 2 - при уменьшении добротности до $Q=2000$ отдельно для 5-го резонатора;

кривая 3 - при уменьшении добротности до $Q=2000$ отдельно 1-го резонатора

Таблица 2

Расчетные формулы элементов фильтра	
1	2
Величина, обратная относительной ширине полосы пропускания (n)	$n = \frac{f_0}{\Delta f}$
Расчетное сопротивление нагрузки R_H^* , Ом	$R_H^* = \frac{\rho}{C_{дин} \cdot \alpha_1 \cdot n \cdot \omega_0}$
Нормированный коэффициент нагрузки r_n	$r_n = \frac{1}{\frac{1}{1 - \frac{\alpha_1 \cdot n}{\rho} \cdot (\frac{1}{Q_{np}} - \frac{1}{Q_p})} - \frac{\alpha}{Q_\alpha}}$
Сопротивление нагрузки R_H , Ом	$R_H = R_H^* \cdot r_n$

Продолжение таблицы 2

1	2	
	$L_1 = \frac{K_{cb}^2}{C_1 \cdot \omega_0^2}; \quad L_2 = \frac{1}{C_{дин} \cdot \omega_0^2}$	
Расчет индуктивностей, Гн	При $i = 3,5,7$ $L_i = \frac{\rho}{\beta_{i-1} \cdot n} \cdot \frac{R_H^*}{\omega_0}$	При $i = 4,6$ $L_i = \frac{\alpha_{i-1} \cdot n}{\rho} \cdot \frac{R_H^*}{\omega_0}$
	$C_1 = \frac{C_{дин}}{K_{cb}^2} \quad C_2 = C_{дин}$	
Расчет емкостей, Ф	При $i = 3,4,5,6,7$	$C_i = \frac{1}{\omega_0^2 \cdot L_i}$
Емкость (-C8, C9, -C10), Ф	$\frac{\rho}{R_H^* \cdot \omega_0}$	
	$R_1 = \omega_0 \cdot L_1 \cdot Q_\alpha$	$R_2 = \frac{\omega_0 \cdot L_2}{Q_{np}}$
Расчет сопротивлений потерь, Ом	При $i = 3,5,7$ $R_i = \omega_0 \cdot L_i \cdot Q_{pes}$	При $i = 4,6$ $R_i = \frac{\omega_0 \cdot L_i}{Q_{pes}}$

Выводы и направление дальнейших исследований.

Анализ влияния изменения добротности преобразователей и согласующих индуктивностей на АЧХ показал, что изменение добротности одного из преобразователей или одной из согласующих индуктивностей приводит к изменению вносимого затухания примерно равного половине эффекта, вызванного их совместным влиянием. В то же время влияние резонаторов различно и зависит от местоположения его в колебательной системе (рис. 6). Резонаторы, расположенные ближе к центру, в большей степени влияют на величину вносимого затухания, чем резонаторы, расположенные ближе к преобразователю. При этом следует отметить то, что снижение добротности центральных резонаторов заметно снижает избирательность фильтра, которое проявляется в закруглениях АЧХ на участках перехода от полосы пропускания в полосе задерживания, т.е. на частотах 128100 и 131600 Гц. В дальнейшем воз-

можно проведение исследование влияния изменения других параметров ЭМФ на получаемые амплитудно-частотные характеристики.

Приведены результаты моделирования амплитудно-частотных характеристик электромеханических фильтров с использованием метода электромеханических аналогий. Показано влияние изменения доброкачественности различных элементов колебательной системы на получающую амплитудно-частотную характеристику электромеханического фильтра.

Results of modelling of frequency characteristics of electromechanical filters with use of a method of electromechanical analogies are resulted. Influence of change of good quality of various elements of oscillatory system on the received frequency characteristic of the electromechanical filter is shown.

Библиографический список

1. Джонсон Р. Механические фильтры в электронике. – М.: Мир, 1986
2. Моделирование амплитудно-частотных характеристик электромеханических фильтров с использованием метода электромеханических аналогий - Труды шестой научно-практической конференции «Современные информационные технологии - 2005». – Одесса, ДП «Нептун-Технология», 2005, с. 206.
3. Коган С.С "Параметры электромеханических полиномиальных фильтров" Сборник Вопросы радиоэлектроники, сер. XI, Техника проводной связи, вып.3, 1962г.
4. Н.В.Моховиков А.С.Степанов, Т.В.Ярицына "Согласование канальных электромеханических фильтров с учетом потерь в элементах преобразователей" ТСС, сер. ТПС, Вып.9, 1985 г.
5. <http://www.rockwellcollins.com/otherbusinesses/collins-filters>